

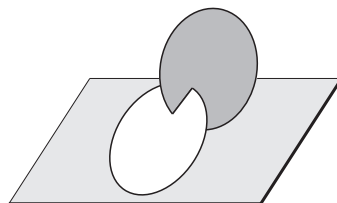


## Proučavanje gibanja tijela *circle roller*

Bruno Golik<sup>1</sup>

### Uvod

Tijelo će se na ravnoj podlozi ponašati kao kotač ako su zadovoljeni određeni geometrijski uvjeti. Centar mase optimalno treba biti na konstantnoj visini tako da nema oscilacije potencijalne energije. Također je poželjno da tijelo nema oštre rubove koji diraju podlogu jer time dolazi do isprekidanog gibanja tijela i zbog udaraca u podlogu do većih gubitaka energije (primjer je tijelo kvadratičnog presjeka). Među tijela koja zadovoljavaju takve uvjete spada i *circle roller*, tijelo sastavljeno od dva međusobno okomita kruga radijusa  $R$ , pri čemu su im centri udaljeni za  $\sqrt{2}R$  (slika 1). Iako ovo tijelo postoji u mnogim mjestima kao dječja igračka [1] matematički opis je napravljen 1966. godine [2]. Postoje poopćenja ovog problema na dvije spojene elipse i slične objekte (engl. *sphericon* i *oloid*) [1, 3]. Kompletni matematički opis i numerički izračuni su dani u radu Hiroshi iz 2011. godine [4]. U ovom članku ćemo razmatrati način gibanja ovakvog tijela na ravnoj podlozi tako da trenje ne dopušta proklizavanje. Razmatrat ćemo programski način generiranja krivulja koje opisuju putanju dodirnih točaka tijela s podlogom, kao i putanju centra mase u horizontalnoj ravnini. Također ćemo zadane krivulje aproksimirati pomoću elementarnih funkcija u određenim intervalima. Zbog toga što su sve duljine proporcionalne radijusu krugova, na temelju sličnosti oblika, uzimamo  $R = 1$ . Debljina diskova koji čine model je zanemariva.



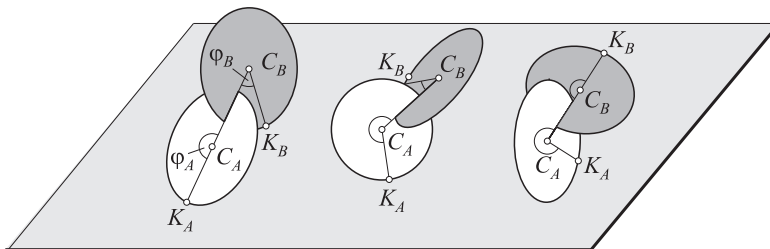
Slika 1. Prikaz promatranog tijela.

### Razrada

Kvalitativno opažanje gibanja tijela pokazuje na to da se centar mase ne giba po pravcu, nego po periodičnoj krivulji sličnoj sinusoidi (nazovimo ju  $f_C$ ). Tijelo također nema stalnu os rotacije i gibanje nije moguće rastaviti na superpoziciju translacije i rotacije oko stalne osi. Tijelo u svakom trenutku dira podlogu u dvije točke (svaka na jednom krugu). Neka krivulje koje dodirne točke  $K_A$  i  $K_B$  stvaraju s podlogom budu  $f_A$  i  $f_B$ . Prvi uvjet gibanja tijela je stalna udaljenost centra mase od tla, što je moguće dokazati da vrijedi za svaki položaj. Iznos te udaljenosti je  $\frac{R}{\sqrt{2}}$ . Drugi uvjet,

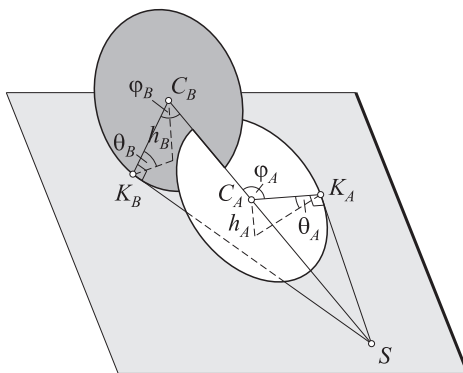
<sup>1</sup> Autor je učenik 4. razreda Prve gimnazije Varaždin i u Centru je izvrsnosti iz fizike Varaždinske županije; e-pošta: brunogolik1@gmail.com

uvjet gibanja bez proklizavanja, govori da je duljina dijela krivulje kontakta na podlozi jednaka odgovarajućoj duljini kružnog luka koji ju generira (za  $R = 1$  to odgovara kutu kružnog luka u radianima). Treći uvjet je da tangenta na krivulju  $f_A$  u točki  $K_A$  bude identična tangenti kruga  $A$  u točki  $K_A$  (i analogno za  $B$ ). Uvodimo kutove  $\varphi_A$  i  $\varphi_B$  (slika 2 lijevo) kao kutove između poveznice centara krugova (dužine  $\overline{C_A C_B}$ ), i dužina  $\overline{C_A K_A}$  i  $\overline{C_B K_B}$ . Neka kutovi  $\theta_A$  i  $\theta_B$  predstavljaju kutove između plohe podloge i ploha na kojima leže krugovi  $A$  i  $B$ .



Slika 2. Tijelo prikazano u tri sukcesivna položaja prilikom gibanja s naznačenim ključnim točkama.

Kut  $\varphi_A$  će u generiranju krivulja služiti kao nezavisna varijabla, te ga zbog toga moramo povezati s ostalim veličinama. Koristit ćemo notaciju kutova prikazanu na slici 2 prema kojoj se tijelo giba udesno (tako da se i  $\varphi_A$  i  $\varphi_B$  povećavaju). Zbog periodičnosti gibanja krivulje  $f_A$  i  $f_B$  su identičnog oblika, ali međusobno translahirane i rotirane, te je zbog toga dovoljno primijeniti račun samo na interval  $\varphi_A \in [\pi, 3/2\pi]$  i kasnije dobivene podatke kopirati i zalijepiti kao ekstenziju krivulje. Ograničenje intervala je elegantnije nego stvaranje generalnog rješenja zbog područja definicije nekih inverznih trigonometrijskih funkcija.



Slika 3. Skica modela. Iscrtkane linije predstavljaju linije koje su iza vidljivog djela modela. kut  $\varphi_A$  je označen kao suprotan kut nego ranije na slici 2 zbog preglednosti. Zbog toga što se u računu koristi kosinus kuta dobit će se isti rezultat.

Visine centara krugova dane su direktno preko kutova  $\theta_A$  i  $\theta_B$  kao (slika 3):

$$h_A = \sin \theta_A, \quad h_B = \sin \theta_B. \quad (1)$$

Neka točka  $S$  bude sjecište ravnine podloge i pravca na kojem leži dužina koja spaja centre krugova. Označimo dužinu  $\overline{C_A S}$  s  $x$ . Zbog toga što su trokuti  $K_B C_B S$  i  $K_A C_A S$

pravokutni, vrijedi:

$$\cos \varphi_B = \frac{1}{\sqrt{2} + x}, \quad -\cos \varphi_A = \frac{1}{x}. \quad (2)$$

Eliminacijom  $x$ -a dobivamo direktnu vezu kutova  $\varphi_A$  i  $\varphi_B$  i možemo izraziti  $\varphi_B$  eksplicitno:

$$(1 - \sqrt{2} \cos \varphi_A)(1 - \sqrt{2} \cos \varphi_B) = 1 \quad (3)$$

$$\varphi_B = \arccos \frac{1}{\sqrt{2} - \frac{1}{\cos \varphi_A}}. \quad (4)$$

Koristeći uvjet da je centar mase točno između točaka  $C_A$  i  $C_B$  te sličnost trokuta:

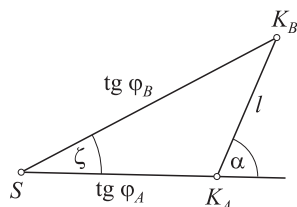
$$(\sin \theta_A + \sin \theta_B) = \sqrt{2}, \quad \frac{h_A}{h_B} = \frac{\sin \theta_A}{\sin \theta_B} = \frac{x}{x + \sqrt{2}}. \quad (5)$$

Dobivamo eksplicitne izraze:

$$\theta_A = \arcsin \left( \frac{1}{\sqrt{2} - \cos \varphi_A} \right), \quad \theta_B = \arcsin \left( \sqrt{2} - \frac{1}{\sqrt{2} - \cos \varphi_A} \right). \quad (6)$$

Potrebno će biti izračunati još nekoliko dinamičkih vrijednosti. Prva je udaljenost točaka  $K_A$  i  $K_B$ . Ako postavimo trodimenzionalni koordinatni sustav tako da je centar mase u ishodištu, a krugovi na dvije okomite plohe, udaljenost se dobiva preko Pitagorinog teorema:

$$\begin{aligned} l &= \sqrt{(\sqrt{2} - \cos \varphi_A - \cos \varphi_B)^2 + \sin^2 \varphi_A + \sin^2 \varphi_B} \\ &= \sqrt{1 - \sqrt{2} \cos \varphi_A} + \sqrt{1 - \sqrt{2} \cos \varphi_B}. \end{aligned} \quad (7)$$



Slika 4. Trokut  $K_A K_B S$ .

Neka  $\zeta$  bude kut pod kojim se sijeku tangente na krivulje  $f_A$  i  $f_B$  u točkama  $K_A$  i  $K_B$  ( $0 \leq \zeta \leq \pi/2$ ) i neka  $\alpha$  bude kut koji dužina  $\overline{K_A K_B}$  zatvara s tangentom na  $f_A$  u točki  $K_A$  ( $\pi/4 \leq \alpha \leq \pi/2$ ). Vrijednost  $\zeta$  može se dobiti promatrajući trokut  $K_A K_B S$  i koristeći kosinusov poučak (slika 4). Vrijednost kuta  $\zeta$  dobiva se formulom:

$$\zeta = \arccos \left[ \frac{1}{2} \left( \frac{\operatorname{tg} \varphi_A}{\operatorname{tg} \varphi_B} + \frac{\operatorname{tg} \varphi_B}{\operatorname{tg} \varphi_A} - \frac{l^2}{\operatorname{tg} \varphi_A \operatorname{tg} \varphi_B} \right) \right]. \quad (8)$$

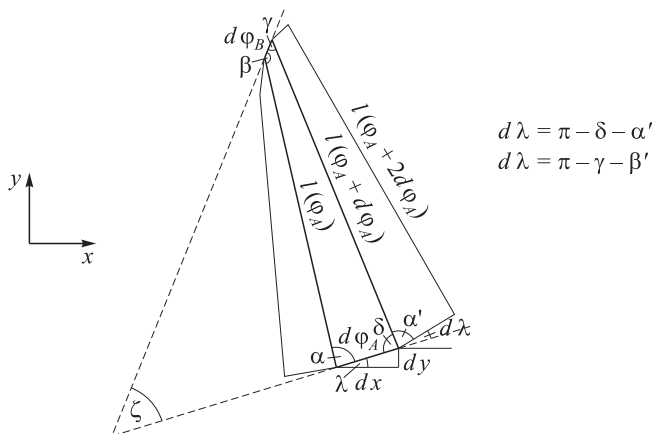
Kut  $\alpha$  moguće je elegantno prikazati preko kuta  $\zeta$  za interval koji se koristi u problemu:

$$\alpha = \frac{\zeta}{2} + \frac{\pi}{4}. \quad (9)$$

## Generiranje krivulje

Krivulja se generira numerički tako da se mijenja vrijednost kuta  $\varphi_A$  u malim intervalima  $d\varphi_A$ , čija vrijednost se specificira na početku izvršavanja. Kada kružnica  $A$  otisne na podlogu djelić krivulje  $f_A$  duljine  $d\varphi_A$  istovremeno kružnica  $B$  otiskuje

djelic duljine  $d\varphi_B$  krivulje  $f_B$  (izračunava se pomoću (4)). Udaljenost točaka  $K_A$  i  $K_B$  se tijekom tog pomaka također promijeni (7). Uzimamo da dužina duljine  $l(\varphi_A)$  spaja točke  $K_A$  i  $K_B$  prije tog pomaka, ali joj se duljina promijeni na  $l(\varphi_A + d\varphi_A)$  nakon pomaka, kada spaja točke  $K'_A$  i  $K'_B$ . Time dobivamo tanki četverokut (slika 5). Zbog toga što mu možemo odrediti unutarnje kutove (detaljnije u nastavku) možemo ga povezati s njemu susjednim četverokutima. Za svaki četverokut je potrebno iznova izračunati vrijednosti kutova i ostalih veličina. Kako svaki četverokut sadrži dio obje krivulje, one se simultano generiraju. Neka u početnom trenutku tijelo bude orijentirano tako da je kružnica B okomita na podlogu i tijelo započinje gibanje udesno. Stacionarni Kartezijev koordinatni sustav postavimo tako da (za  $t = 0$ ) ishodište leži u točki  $K_A$ , a točka  $K_B$  se nalazi na  $y$  osi (slika 5 prikazuje sustav neko vrijeme poslije  $t = 0$ ). Početne koordinate točke  $B$  se mogu lako izračunati iz Pitagorinog poučka:  $K_B(0, \sqrt{(2 + 2\sqrt{2})})$ . Neka za neki četverokut  $\text{tg}(\lambda)$  označava nagib koji ima pravac na kojemu leži njegova stranica duljine  $d\varphi_A$  u odnosu na postavljeni Kartezijev sustav (slika 5). Ako je kut  $\lambda$  asociran s nekim četverokutom, njemu sljedeći će imati asociran  $\lambda + d\lambda$ . Diferencijal  $d\lambda$  proizlazi iz razlike unutarnjih kutova susjednih četverokuta (analogno kutu  $\lambda$  uvodimo kut  $\eta$  asociran s krivuljom  $f_B$  koji nije prikazan na slici).



Slika 5. Prikaz tri susjedna četverokuta i smjer osi u Kartezijevom sustavu (proporcije nisu realno prikazane jer su diferencijali krivulje puno manji od udaljenosti  $K_A$  i  $K_B$ ). Ishodište sustava nije prikazano na slici.

Unutarnji kutovi četverokuta mogu se dobiti iz odgovarajućih kutova  $\zeta$  i  $\alpha$  (formule 8 i 9, slika 5):

$$\alpha + \beta = \pi + \zeta \quad (10)$$

$$\gamma + \delta = \pi - \zeta \quad (11)$$

$$\gamma = \arcsin \left( \frac{l}{l'} \sin \beta + \frac{d\varphi_A}{l'} \sin(\zeta) \right) \quad (12)$$

(u formuli (12)  $l$  i  $l'$  predstavljaju duljine lijeve i desne dulje stranice u četverokutu). Drugi član u formuli je bitno manji od prvoga, ali nije zanemariv u računu).

Jednom kada su za neki četverokut poznati kutovi  $\lambda$ ,  $\eta$  i koordinate točaka na lijevoj strani (koje odgovaraju točkama s desne strane četverokuta prije njega), lako je odrediti

koordinate ostale dvije točke:

$$x'_A = x_A + d\varphi_A \cos \lambda, \quad y'_A = y_A + d\varphi_A \sin \lambda. \quad (13)$$

(I analogni izraz za  $x_B$  i  $y_B$  pomoću kuta  $\eta$ ).

Moguće je dokazati da je projekcija centra mase na podlogu uvijek kolinearna s točkama  $K_A$  i  $K_B$  i izračunati njezinu udaljenost od njih. Za točke krivulje  $f_C$  vrijedi:

$$x_C = x_A - (x_A - x_B) \frac{\sqrt{1 - \sqrt{2} \cos \varphi_A}}{l}, \quad y_C = y_A - (y_A - y_B) \frac{\sqrt{1 - \sqrt{2} \cos \varphi_A}}{l} \quad (14)$$

( $x_C$  i  $y_C$  su koordinate centra mase u definiranom Kartezijevom sustavu za neku vrijednost  $\varphi_A$ ).

## Analiza podataka

Program koji generira krivulje je napisan u programskom jeziku Java, a podaci uređeni i analizirani pomoću programa MS Excel i Logger Pro. Sve vrijednosti korištene u programu su tipa double i jedini unos je  $d\varphi_A$ . Program se sastoji od jedne petlje koja se izvršava dok vrijedi uvjet  $3.14159265 \leq \varphi_A < 4.71238898$  pri čemu se u svakom izvođenju  $\varphi_A$  povećava za  $d\varphi_A$ . Svako izvršavanje petlje generira parove koordinati  $(x_A, y_A)$ ,  $(x_B, y_B)$  i  $(x_C, y_C)$  kao točke krivulja  $f_A$ ,  $f_B$  i  $f_C$ . Očekujemo da će broj važećih decimala biti veći za manje vrijednosti  $d\varphi_A$ . Zato promotrimo koordinate konačnih generiranih točaka krivulja  $f_A$  i  $f_B$  u ovisnosti o  $d\varphi_A$  (točke odgovaraju vrijednosti  $\varphi_A = 3\pi/2$ ):

$\log(d\varphi_A)$	$x_A$	$y_A$	$x_B$	$y_B$
-3	1.11081014	0.93189577	0.03865997	2.62096797
-4	1.11120341	0.93343642	0.03874147	2.62165217
-5	1.11124702	0.93360999	0.03875403	2.62174017
-6	1.11125072	0.93362442	0.03875464	2.62174604
-7	1.11125103	0.93362557	0.03875463	2.62174633
-8	1.11125105	0.93362569	0.03875462	2.62174635

Sivo su označene znamenke koje se mogu smatrati preciznima jer su za sve koordinate u retku iste kao i za redak ispod. Zadnji redak nema označenih znamenaka jer program nije izvođen za veće preciznosti pa nema referentnih koordinata. Vidljivo je da je apsolutna pogreška zadnje točke reda veličine  $d\varphi_A$ . Zbog toga što se točke iterativno generiraju, za očekivati je da isto vrijedi i za sve točke prije zadnje, jer bi se svako ranije odstupanje s vremenom samo povećavalo. To potvrđuje uspoređivanje cijelih skupova podataka za različite vrijednosti  $d\varphi_A$  (npr. gledanje razlike svake točke iz skupa dobivenog za  $d\varphi_A = 10E - 4$  i svake desete točke iz skupa dobivenog za  $d\varphi'_A = 10E - 5$ ) i zato vrijedi:

$$\Delta \sim d\varphi_A$$

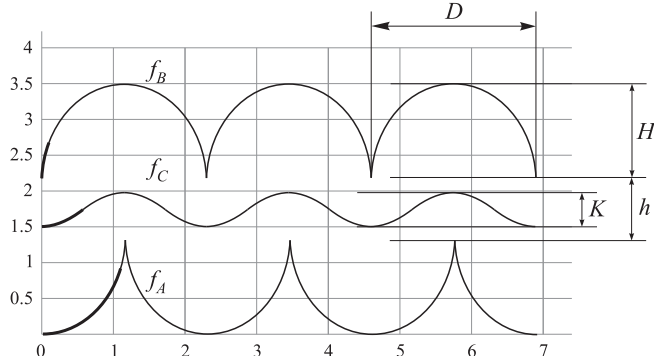
gdje  $\Delta$  označuje apsolutnu pogrešku.

Vrijednosti parametara naznačenih na slici 6 iznose (računato za  $d\varphi_A = 10E - 7$  i zaokruženo na 6 decimala):

$$H \approx 1.358004, \quad D \approx 2.300011, \quad h \approx 0.839365, \quad K \approx 0.447824.$$

Prilikom aproksimacija krivulja koristi se skup točaka dobiven za  $d\varphi_A = 10E - 6$ , ali se zbog ograničenja unosa podataka koristi svaka stota točka. U programu Logger

Pro koristi se opcija automatskog pridruživanja krivulje, te se zatim uspoređivanjem razlike vrijednosti pridruženih funkcija i točaka krivulje ručno modificiraju parametri pridruženih funkcija kako bi se dobila veća preciznost.

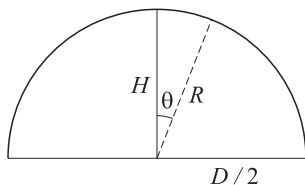


Slika 6. Prikaz krivulja na plohi (koordinatni sustav je isti kao na slici 5). Pobležan je dio krivulje kojeg generira program, dok se ostatak dobiva translacijom i rotacijom tog dijela.

Aproksimacija krivulje  $f_C$  na intervalu  $[0, D/2]$  izvodi se tako da se interval podijeli na 4 jednaka dijela i svakome se pridruži lokalno konvergirajući polinom četvrtog stupnja:  $f_C(x) \approx a_i + b_i x + c_i x^2 + d_i x^3 + e_i x^4$  za  $\frac{D}{8}(i-1) \leq x < \frac{D}{8}i$ .

$i$	$a_i$	$b_i$	$c_i$	$d_i$	$e_i$
1	1.55377	0.00040	0.76880	0.05990	-0.35220
2	1.55602	-0.01450	0.77840	0.16640	-0.53970
3	1.70027	-0.97705	3.20410	-2.57100	0.62780
4	1.50872	-0.13310	1.81350	-1.55600	0.35110

Apsolutna pogreška navedene aproksimacije za  $f_C$  za svaku je točku manja od  $2E - 5$ . Alternativna metoda bi bila aproksimirati  $f_C$  samo za  $x \in [0, D/4]$  i iskoristiti simetriju krivulje  $f_C$  kako bi se dobio ostatak. Granice pogreške dobivene su grafički, gledanjem razlike krivulja i pridruženih polinoma.



Slika 7.

Krivulja  $f_A$  ne može se praktično aproksimirati kao suma elementarnih funkcija  $f_n(x)$  zbog toga što joj nagib teži u beskonačno kada se  $x$  približava  $D/2$ . Elementarne funkcije koje dijele to svojstvo presporo konvergiraju da bi bile od koristi. Zato uvodimo polarni koordinatni sustav (prikazan na slici 7) i oblik krivulje  $f_A$  opisujemo funkcijom  $R(\phi)$  za  $\phi \in [0, \pi/2]$  podjelom na 5 intervala različitih duljina. Intervali su različiti zbog drugačijih brzina kojom dodijeljeni polinomi konvergiraju.

Ako uzimamo  $\phi_0 = 0$  vrijedi:  $R(\phi) \approx a_i + b_i \phi + c_i \phi^2 + d_i \phi^3 + e_i \phi^4$  za  $\phi_{i-1} \leq \phi < \phi_i$ .

$i$	$\phi_i$	$a_i$	$b_i$	$c_i$	$d_i$	$e_i$
1	$\pi/8$	1.35800	0.00000	-0.16030	0.00030	0.03100
2	$\pi/4$	1.35790	0.00095	-0.16370	0.00570	0.02770
3	$3\pi/8$	1.36472	-0.02889	-0.11500	-0.02940	0.03710
4	$11\pi/24$	1.60687	-0.82146	0.85930	-0.56270	0.14680
5	$\pi/2$	6.25327	-13.66419	14.17433	-6.70000	1.20800

Apsolutna pogreška navedene aproksimacije za  $R(\phi)$  za svaku je točku manja od  $1E-5$ . Zbog simetrije problema dovoljno je  $\phi$  zamijeniti s  $|\phi|$  za proširenje na interval  $[-\pi/2, \pi/2]$ .

## Napomena

---

Rad sam izradio u sklopu Centra izvrsnosti za fiziku Varaždinske županije. Zahvaljujem se svome mentoru, Marku Petricu, za podršku prilikom istraživanja i izrade rada.

## Literatura

---

- [1] C. ENGELHARDT AND C. UCKE, *The two-disc-roller – a combination of physics, art and mathematics*, 2013, <http://www.ucke.de/christian/physik/ftp/lectures/Wobb3e.pdf>
- [2] A. T. STEWART, *Two-Circle Roller*, 1966 American Journal of Physics 34, 166–167.
- [3] DAVID HIRSCH AND KATHERINE A. SEATON, *The polycons: the sphericon (or tetracon) has found its family*, arXiv 2019, <https://arxiv.org/abs/1901.10677>
- [4] HIROSHI IRA, *The Development of the Two-Circle-Roller in a Numerical Way*, 2011, <http://ilabo.buftsiz.jp/Development/2c-english.pdf>